

# Bachelorarbeit

Andreas Windorfer

9. Juli 2020

## Zusammenfassung

# Inhaltsverzeichnis

<b>1</b>	<b>Zipper Baum</b>	<b>4</b>
1.1	Hybrid Baum . . . . .	4
1.1.1	Repräsentation eines preferred path . . . . .	4
1.1.2	Die <i>access</i> Operation beim Hybrid Baum . . . . .	4
1.1.3	Laufzeitanalyse beim Hybrid Baum . . . . .	11
1.2	Repräsentation eines preferred path beim Zipper Baum . . . . .	12
1.3	Die <i>access</i> Operation beim Zipper Baum . . . . .	12
1.4	Laufzeitanalyse für <i>access</i> . . . . .	14

# 1 Zipper Baum

Der Zipper-Baum basiert auf dem Tango-Baum und nutzt auch preferred paths aus einem lower-bound-tree  $Y$ . Aufbau und Pflege der preferred paths in  $Y$  unterscheiden sich nicht vom Tango-Baum, wohl aber ihre Repräsentation im eigentlichen BST  $T$ . Der Zipper-Baum wurde in [1] vorgestellt. Er ist ebenfalls  $\log(\log(n))$ -competitive, garantiert aber auch  $O(\log(n))$  im worst case, bei einer einzelnen *access* Operation.  $n$  steht wieder für die Anzahl der Knoten von  $T$ . Das Verhalten der Operationen *cut* und *join* unterscheidet sich deutlich. Da die Operationen des Zipper Baumes recht aufwendig sind, werden sie hier wie in [1] in zwei Schritten vorgestellt. Zunächst an einem Hybrid Baum, der kein BST ist und dann am eigentlichen Zipper Baum. Die Knoten im Zipper sind wie beim Tango Baum erweitert. Beim Hybrid Baum kommt ein zusätzlicher Zeiger auf einen Knoten hinzu. Sei  $v$  ein Knoten in  $T$ , dann ist in diesem Kapitel  $v^*$  der Knoten in  $Y$ , mit  $key(v) = key(v^*)$ .

## 1.1 Hybrid Baum

Znächst wird die Repräsentation eine preferred path in  $T$  vorgestellt. Dann wird die *access* Operationen, mit ihren Hilfsoperationen vorgestellt. Zum Schluss geht es noch um die Laufzeit.

### 1.1.1 Repräsentation eines preferred path

Die Repräsentation eines preferred path  $P_p = p_1^*, p_2^*, \dots, p_m^*$  in  $T$  stellt einen Hilfsbaum  $H$  dar, der in zwei Teile unterteilt wird, den **top path** und dem **bottom tree**. Der bottom tree ist ein balancierter BST der genau die Schlüssel enthält, die in  $P_m$  enthalten sind jedoch nicht im top path. Der top path enthält  $n_1 \in [\log(\log(n)), 3\log(\log(n))]$  Knoten falls ein bottom tree existiert, ansonsten  $n_1 \in [1, 3\log(\log(n))]$ . Der top path besteht aus den Knoten  $p_1, p_2, \dots, p_{n_1}$  und stellt eine eins zu eins Repräsentation von  $p_1, p_2^*, \dots, p_{n_1}^*$  dar.  $p_1$  ist die Wurzel von  $H$ . Die Wurzel des bottom tree ist ein Kind von  $p_{n_1}$ . Abbildung 2 zeigt eine mögliche Darstellung zu dem preferred path in Abbildung 1. Jeder Knoten in  $H$  kann in  $O(\log(\log(n)))$  Zeit erreicht werden. Die Repräsentationen der preferred paths werden wie beim Tango Baum zu einer Gesamtstruktur entsprechend ihrer Schlüssel zusammengefügt.

### 1.1.2 Die *access* Operation beim Hybrid Baum

Sei  $p$  der Zeiger der *access*( $k$ ) Operation in  $T$ . Erreicht  $p$  während des Suchens in einem Hilfsbaum  $H_1$  die Wurzel eines weiteren Hilfsbaum  $H_2$ , werden die

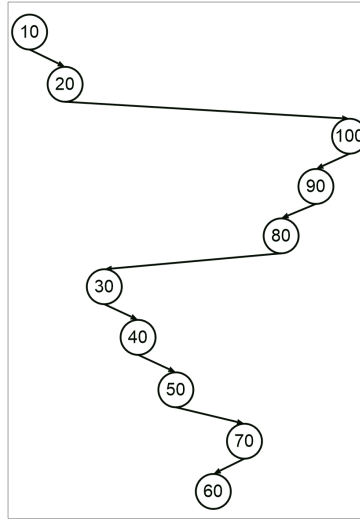


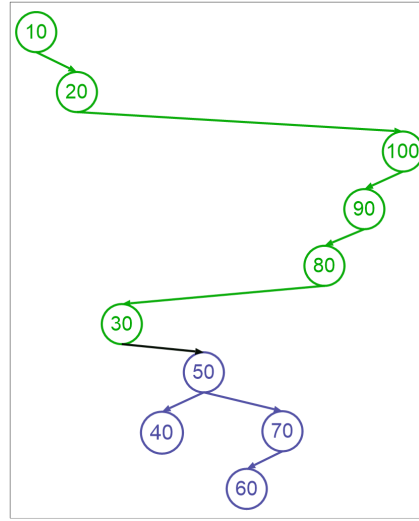
Abbildung 1: Beispiel preferred path

Knoten von  $H_1$ , entsprechend ihrer *depth* Variable, vergleichbar mit dem Tango Baum, mit einer *cut* Operation in zwei Bäume  $D_1$  und  $D_2$  aufgeteilt. Sei  $D_2$  der Baum mit den Knoten größerer Tiefe.  $D_2$  wird sofort in eine gültige Pfadrepräsentation überführt, wie genau wird in *cut* beschrieben. Die Knoten in  $D_1$  werden nach der Ausführung von *access* im Hilfsbaum mit der Wurzel von  $T$  enthalten sein. Dieser wird mit *join* erst erstellt wenn der Knoten mit Schlüssel  $k$  gefunden ist.  $D_1$  bleibt also zunächst unverändert bestehen.

**cut beim Hybrid Baum** Es werden zwei Fälle unterschieden. Beim ersten Fall zeigte  $p$  in  $H_1$  nur auf Knoten im top path  $p_1, p_2, \dots, p_m$  im zweiten Fall erreichte  $p$  den bottom tree. Es wird davon ausgegangen dass in  $H_1$  ein bottom tree enthalten ist, der andere Fall ist einfacher und ergibt sich aus der Beschreibung.

Fall 1:

Sei  $q_i$  der Vater der Wurzel von  $H_2$ , dann muss eine Laufzeit von  $O(i)$  erreicht werden.  $q_{i+1}$  wird zur Wurzel von  $H_1$ . Es muss sichergestellt werden, dass die Anzahl der Knoten im top path von  $H_1$  noch groß genug ist. Enthält er weniger als  $2 \log(\log(n))$  Knoten werden mit einem **Extraktionsprozess** Knoten aus dem bottom tree dem top path hinzugefügt. Dazu werden *extract* Operationen verwendet. Eine solche Operation fügt dem top path  $\log(\log(n))$  Knoten aus dem bottom tree hinzu. Um die Laufzeit einhalten zu können verteilt *extract* dies über mehrere *cut* Operationen. Dazu wird der bottom tree in einen Zwischenzustand versetzt, der keinem balancierten BST entspricht. Ein Hilfsbaum bei dem kein Extraktionsprozess aktiv ist hat



**Abbildung 2:** Mögliche Repräsentation des preferred path aus 1. Grün der top path, blau der bottom tree.

$2 \log(\log(n))$  Knoten im top path. Der Extraktionsprozess wird im Abschnitt zu *extract* beschrieben.

Fall 2:

Es muss eine Laufzeit von  $O(\log(\log(n)))$  erreicht werden. Dieser Fall ist sehr ähnlich zum Tango Baum und es werden die Operationen von ihm verwendet. Sei *tangoJoin* die *join* Operation wie im Kapitel zum Tango Baum beschrieben und *tangoCut* die *cut* Operation von dort. Sei  $v$  der Vater der Wurzel von  $H_2$ . Ist in  $H_1$  ein Extraktionsprozess aktiv, muss dieser beendet werden und der top path muss in einen balancierten Baum  $H_3$  überführt werden. Nun werden  $H_3$  und der bottom tree mit *tangoJoin* zu  $H_4$  vereinigt. Dann wird *tangoCut* verwendet um die Knoten mit einem Wert der *depth* Variable größer  $v.depth$  aus in einen Hilfsbaum  $H_5$  auszulagern. Auf  $H_5$  werden zwei Extraktionsprozess ausgeführt um eine gültige Pfadrepräsentation zu erreichen.

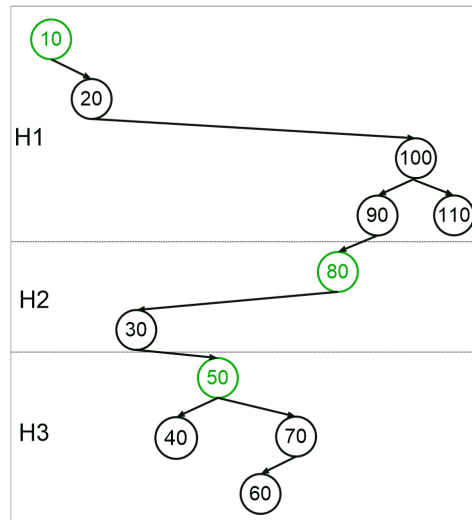
Im ersten Fall entstehen Kosten von  $O(i)$  um  $q_i$  zu erreichen, und dass auch in *extract* Kosten von  $O(i)$  entstehen wird weiter unten gezeigt. Im zweiten Fall entstehen Kosten von  $O(\log(\log(n)))$  sowohl um  $v$  zu erreichen, um  $H_4$  zu erzeugen (siehe *join*) als auch in *extract*.

**join beim Hybrid Baum** *join* wird verwendet um zum Abschluss von *access* den Hilfsbaum  $H$  mit der Wurzel von  $T$  zu erstellen. Seien  $H_1, H_2, \dots, H_m$  die Bäume die zu  $H$  vereinigt werden, so dass für  $i \in \{1, 2, \dots, m\}$  und  $i > 1$ , in  $H_{i-1}$  der Vater der Wurzel von  $H_i$  enthalten ist. Abbildung 3 zeigt ei-

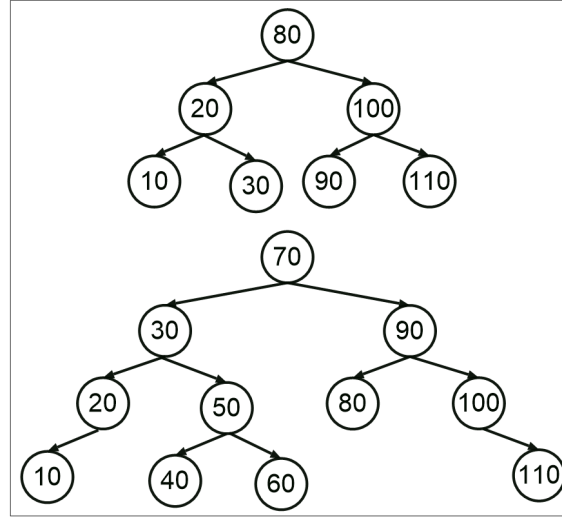
ne beispielhafte Konstellation. Zunächst werden die Bäume  $H_1, H_2, \dots, H_m$  zu balancierten Bäumen  $H'_1, H'_2, \dots, H'_m$  transformiert. Diese werden dann mit einer Folge von  $m - 1$  *tangoJoin* Operationen zu  $H$  zusammengefügt. Als erstes werden  $H'_1$  und  $H'_2$  zusammengefügt. Zu dem neu entstandenen Hilfsbaum wird dann  $H'_3$  hinzugefügt usw. Um  $H$  zu erstellen werden dann noch  $2 \log(\log(n))$  Knoten zu einem top path extrahiert. Abbildung 4 zeigt den Ablauf für das Beispiel.

Um  $H_i$  zu  $H'_i$  zu überführen werden die Knoten in seinem top path als Bäume mit einem Knoten betrachtet. Diese werden mit Folgen von *tangoConcatenate* zusammengefügt. In jeder solchen Folge wird die Anzahl der Bäume halbiert, indem zwei aufeinanderfolgende Bäume jeweils zusammengeführt werden. Nach der Ausführung dieser *tangoConcatenate* Folgen existiert ein aus dem top path entstandener balancierter BST und eventuell ein bottom tree. Diese werden mit einer weiteren *tangoConcatenate* Operation zusammengeführt. Nach jeder *tangoConcatenate* Folge halbiert sich die Anzahl der aus dem top path entstandenen Bäume und die Anzahl ihrer Knoten verdoppelt sich. Sei  $n_i$  die Anzahl der Knoten von  $H_i$ , dann summieren sich die Kosten über alle Folgen zu  $O\left(\sum_{j=1}^{\log n_i} j n_i / 2^j\right) = O(n_i)$ .

*tangoJoin* hat eine Laufzeit von  $O(\log(n_r))$ , mit  $n_r$  ist die Anzahl der Knoten, des resultierenden Baumes. Die Anzahl der benötigten Operationen ist  $O(\log(n_r))$ . Damit ergibt sich auch für die Gesamtlaufzeit  $O(\log(n_r) \log(n_r)) = O(n_r)$ . Asymptotisch können die Kosten für *join* damit für die Betrachtung von *access* damit vernachlässigt werden.



**Abbildung 3:** Mögliche Ausgangssituation vor *concatenate*.



**Abbildung 4:** Es werden zwei *concatenate* Operationen benötigt. Oben das Ergebnis der Ersten, unten dass der Zweiten

**extract beim Hybrid Baum** Wie bereits erwähnt wird diese Operation benötigt um einen Extraktionsprozess durchzuführen. Ein Extraktionsprozess fügt dem top path  $\log(\log n)$  Knoten hinzu und wird gestartet wenn der top path aufgrund einer *cut* Operation, weniger als  $2 \log(\log n)$  enthält. Damit die Laufzeit von *cut* eingehalten werden kann, erstreckt sich ein Extraktionsprozess über mehrere *cut* Operationen, mit Fall 1. Ein Extraktionsprozess wird mit einer Folge von  $O(\log(\log n))$  Rotationen ausgeführt. Um die Invariante bezüglich der top path Länge einzuhalten, kann ein Extraktionsprozess auf so viele *cut* Operationen verteilt werden, bis mehr als  $\log(\log n)$  Knoten vom top path entfernt wurden. Der Hybrid Baum macht, mit einer Konstante, die Anzahl der durchgeführten Rotationen, von der Anzahl der abgespaltenen Knoten abhängig. So dass der Extraktionsprozess spätestens dann abgeschlossen wird, wenn  $\log(\log n)$  durch *cut* entfernt wurden. Kommt es zu einer *cut* Operationen, mit Fall 2 wird ein aktiver Extraktionsprozess abgebrochen. Von den Hilfsbäumen wird eine *split* Operation wie vom Hilfsbaum des Tango Baumes verlangt. Diese darf jedoch nur Rotationen verwenden. Für den Rot-Schwarz-Baum ist eine solche Variante in [1] dargestellt. Sei  $H$  eine Repräsentation des preferred path  $P_p = p_1, p_2, \dots, p_m$  und  $i \in \{1, 2, \dots, m\}$ . Sei  $n_1 = \log(\log(n))$ . Sei  $v$  der Vater der Wurzel des bottom tree, mit  $d = v.depth$  und  $p_i$  der Knoten in  $P_p$  mit Schlüssel  $key(v)$ . Es müssen der Reihe nach die Knoten mit *depth* Wert  $d + 1, d + 2, \dots, d + n_2$  extrahiert werden, damit ein valider top path entsteht.  $P_p$  wird in **zig Segmente** und **zag Segmente** unterteilt. zig Segmente entsprechen den längst



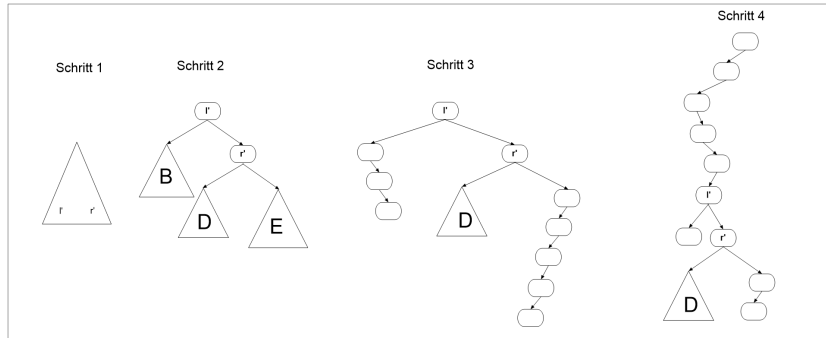
möglichen Teilpfaden von Knoten mit linken Kindern in  $P_p$ . *zag* Segmente entsprechen den längst möglichen Teilpfaden von Knoten mit rechten Kindern in  $P_p$ . Das Blatt  $P_p$  wird dem Segment seines Vaters zugeordnet. In Abbildung 8 sind *zig* und *zag* Segmente dargestellt. Sei  $S_{zig}$  die Folge der Knoten der *zig* Segmente, aufsteigend sortiert nach der Tiefe und  $S_{zag}$  die Folge der Knoten der *zag* Segmente, aufsteigend sortiert nach der Tiefe der enthaltenen Knoten. Ist  $u$  der tiefste Knoten eines *zig* bzw. *zag* Segmentes, so können in den Segmenten mit Knoten größerer Tiefe nur noch größere bzw. kleinere Schlüssel enthalten sein, vergleiche Abschnitt ?? und Abbildung 8. Deshalb müssen die Knoten in  $S_1 \circ S_2$  aufsteigend sortiert nach Schlüssel sein. Da die Knoten in  $S_{zig}$  bzw.  $S_{zag}$  aber auch aufsteigend bzw. absteigend nach Tiefe sortiert sind, können aus  $S_{zig} \circ S_{zag}$  Intervalle  $[l, r]$  für die Schlüsselmengen, von Pfaden in  $P_p$  mit Endknoten  $p_m$  abgeleitet werden, siehe Abbildung 8, wobei  $l$  in  $S_{zig}$  enthalten sein muss und  $r$  in  $S_{zag}$ . Sei  $[l, r]$  ein so erstelltes Intervall zu dem Pfad von  $p_{i+n_1}$  zu  $p_m$ . Es müssen genau die Knoten im bottom tree zum extrahieren vorbereitet werden, deren Schlüssel nicht in  $[l, r]$  liegen. Die Knoten mit Schlüssel  $l$  und  $r$ , sowie der Vorgänger  $v_l$  von  $l$  mit Schlüssel  $l'$  und der Nachfolger  $v_r$  von  $r$  mit Schlüssel  $r'$  werden gefunden wie in Abschnitt ?? gezeigt. Mit zwei *split* Operationen werden die Knoten  $v_l$  und  $v_r$  herausgelöst. Das linke Kind von  $v_l$  ist ein balancierter BST  $B$ , der alle Schlüssel aus  $H$  enthält die kleiner als  $l$  sind. Das rechte Kind von  $v_l$  ist  $v_r$ . Das linke Kind von  $v_r$  ist ein balancierter BST  $D$ , der alle Schlüssel aus  $H$  enthält die in  $(l, r)$  enthalten sind. Das rechte Kind von  $v_r$  ist ein balancierter BST  $E$ , der alle Schlüssel aus  $H$  enthält die größer als  $r$  sind. Es werden also genau die Knoten aus  $B$  und  $E$  vorbereitet. Schritt zwei in Abbildung 5 ist damit bereits vollzogen. In Schritt drei werden  $B$  und  $E$  nun zu BST in Listendarstellung gewandelt. Sei  $B'$  bzw.  $E'$  der Baum der dadurch von  $B$  bzw.  $E$  zu einer Liste entsteht. Es wird  $B'$  betrachtet,  $E'$  ist dazu symmetrisch. Die Wurzel von  $B'$  enthält den größten Schlüssel in  $B'$ , somit sind alle anderen Knoten in  $B'$  linke Kinder. Die Umwandlung geschieht wie folgt:

Es werden so oft Links Rotationen auf das rechte Kind der Wurzel ausgeführt, bis der rechte Teilbaum der Wurzel leer ist. In Schritt zwei wird der rechte Teilbaum des linken Kindes der Wurzel auf die gleiche Art und Weise geleert und eine Rechts Rotation auf das linke Kind der Wurzel ausgeführt. Schritt zwei wird so oft wiederholt bis  $B'$  erzeugt ist. Abbildung 6 stellt diesen Vorgang dar. Da  $l$  in  $S_{zig}$  enthalten ist, müssen alle Schlüssel aus  $B'$  auch als Schlüssel von Knoten  $S_{zig}$  enthalten sein.  $S_{zig}$  ist aufsteigend nach den Schlüsseln als auch nach den Tiefen sortiert, somit müssen dies auch die Knoten in  $B'$  sein. Das bedeutet für einen Knoten  $v$  aus  $B'$ , dass alle Knoten in seinem rechten Teilbaum einen größeren Wert bei der *depth* Variable haben

als  $v.depth$ . Für  $v$  aus  $E'$  gilt für den linken Teilbaum das gleiche. Aus den gleichen Gründen muss  $v_l.depth$  bzw.  $v_r.depth$  einen größeren Wert haben, als die  $depth$  Variablen aller Knoten in  $B'$  bzw.  $E'$ .  $v_l$ ,  $v_r$  sowie die Knoten aus  $B'$  und  $E'$  sind nun zum extrahieren vorbereitet. Sei  $u$  die Wurzel von  $B'$  oder  $E'$ , je nachdem bei welchem Knoten die  $depth$  Variable einen kleineren Wert hat. Dann kann  $u$  mit maximal zwei Rotationen den top path hinzugefügt werden. Sind  $B'$  und  $E'$  erschöpft und auch  $v_r$  und  $v_l$  dem top path hinzugefügt, beginnt der Vorgang von vorne.

Muss ein Extraktionsprozess aufgrund *cut* vorzeitig abgebrochen werden, werden aus  $B'$  und  $E'$  wieder balancierte BST erzeugt, simultan zu der Beschreibung in *join*. Im Anschluss wird mit zwei *tangoJoin* Operationen wieder ein bottom tree erstellt. Um die Laufzeit von *cut* einhalten zu können, werden die Knoten im Hybrid Tree um einen weiteren Zeiger erweitert. Ist in einem Hilfsbaum  $H$  mit Wurzel  $w$  ein Extraktionsprozess aktiv, zeigt dieser auf den Knoten auf den die nächste Rotation ausgeführt wird. Da  $p$  nach dem extrahieren von Knoten, nochmals auf  $w$  zeigen muss, bevor er auf einen Knoten außerhalb von  $H$  zeigt, kann dieser Knoten einfach gepflegt werden. Aufgrund dieses Zeigers ist der Hybrid Baum jedoch kein BST.

Bei Schritt eins und zwei entstehen Kosten von  $O(\log(\log n))$ , vergleichbar mit Kapitel ?? . Beim erstellen von  $B'$  aus  $B$  ist jeder Knoten an maximal drei Rotationen beteiligt, vergleiche Abbildung 6. Da maximal  $\log(\log n)$  Knoten vorbereitet werden, entstehen Kosten von  $O(\log(\log n))$ . Bei Schritt vier kommen noch einmal Kosten von  $O(\log(\log n))$  hinzu. Werden mit einem verkürzten Ablauf  $k$  bereits vorbereitete Knoten dem top path hinzugefügt, entstehen mit Hilfe des zusätzlichen Zeigers Kosten von  $O(k)$ .



**Abbildung 5:** Es wird ein Extraktionsprozess dargestellt. Die Abbildung basiert auf einer in [1]

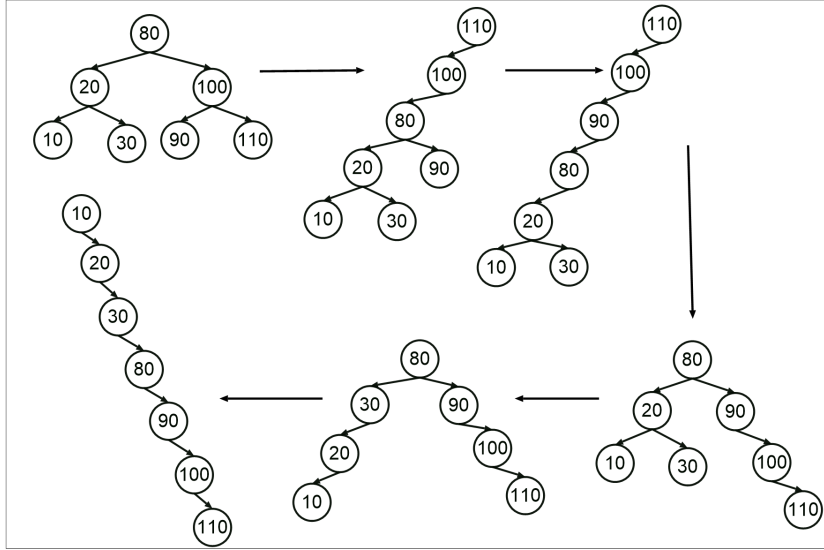


Abbildung 6: Beispielhaftes überführen von  $B$  zu  $B'$ .

### 1.1.3 Laufzeitanalyse beim Hybrid Baum

Zunächst wird ein Lemma benötigt.

**Lemma 1.1.** *Sei  $T$  ein Hybrid Baum mit  $n$  Knoten und  $Y$  ein dazu erstellter lower bound tree. Sei  $v$  ein Knoten aus  $T$ , dann gilt  $\text{depth}(v) = O(\text{depth}(v^*))$ .*

*Beweis.* Seien  $P_1, P_2, \dots, P_m$  die preferred path, die Knoten aus dem Pfad  $P_{v^*}$  von der Wurzel von  $Y$  zu  $v^*$  enthalten. Jeder von ihnen wird nun als BST betrachtet. Für  $i \in \{1, 2, \dots, m\}$  sei  $H_i$  die Pfadrepräsentation zu  $P_i$ . Sei  $p_i$  der Knoten in  $P_i$  mit der größten Tiefe unter denen in  $P_u$  enthaltenen. (Es muss  $p_m = v^*$  gelten) Sei  $h_i$  der Knoten in  $H_i$  mit  $\text{key}(h_i) = \text{key}(p_i)$ . Die folgenden Tiefenangaben werden auf  $P_i$  bzw.  $H_i$  bezogen. Ist  $h_i$  im top path enthalten, haben  $h_i$  und  $p_i$  die gleiche Tiefe. Liegt  $h_i$  im bottom tree so muss  $\text{depth}(p_i) > \log(\log n)$  gelten aufgrund der Konstruktion von  $H_i$ . Für die Tiefe jedes Knoten in  $H_i$  gilt  $O(\log(\log n))$

□

Daraus ergibt sich sofort für die Höhe eines Hybrid Baum mit  $n$  Knoten sofort  $O(\log n)$ .

In *access* entstehen preferred path mit  $k$  involvierten Knoten Kosten von  $O(k)$  wenn  $k < \log(\log(n))$  gilt und Kosten von  $O(\log(\log(n)))$  wenn  $k \geq \log(\log(n))$  gilt. Mit dem Lemma gilt deshalb für die Kosten von *access*

$O(\log(n))$ . Da pro *cut* Operation maximal Kosten von  $O(\log(\log(n)))$  entstehen, muss der Hybrid Baum genau wie der Tango Baum  $\log(\log(n))$ -competitive sein.

## 1.2 Repräsentation eines preferred path beim Zipper Baum

Ziel der Repräsentation eines preferred path  $P_p = p_1^*, p_2^*, \dots, p_m^*$  ist es ohne den zusätzlichen Zeiger in den Knoten auszukommen, ohne Einschränkung bei asymptotischen Laufzeiten. Dies wird dadurch erreicht, dass der Knoten auf den in einem Extraktionsprozess die nächste Rotation ausgeführt wird, immer in konstanter Zeit von der Wurzel seines Hilfsbaumes  $H$  aus zugegriffen werden kann.

$H$  enthält auch einen bottom tree. Die Knoten im top path werden jedoch zu einem **zipper** angeordnet. Dieser besteht aus zwei Teilen  $z_t$  und  $z_b$ .  $z_t$  und  $z_b$  dürfen jeweils maximal  $\log(\log(n))$  Knoten enthalten, gemeinsam müssen sie zumindest  $\log(\log(n))/2$  Knoten enthalten. Es wird wieder angenommen, dass ein bottom tree existiert. Sei  $n_t$  bzw.  $n_b$  die Anzahl der Knoten von  $z_t$  bzw.  $z_b$ .  $z_t$  repräsentiert Knoten  $P_t = p_1^*, p_2^*, \dots, p_{n_t}^*$  und  $z_b$  die Knoten  $P_b = p_{n_t+1}^*, p_{n_t+2}^*, \dots, p_{n_t+n_b}^*$ .

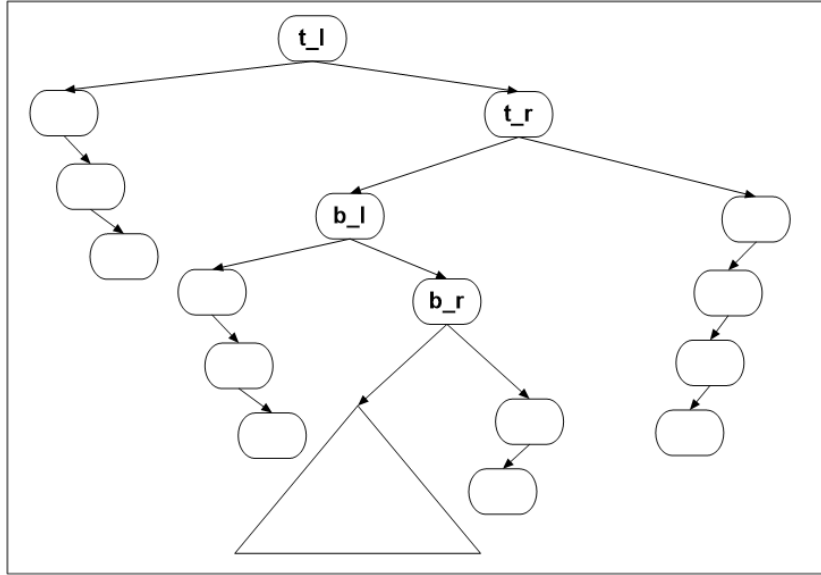
$z_t$  ist wie folgt aufgebaut:

Sei  $S_{zig}$  und  $S_{zag}$  zu  $P_t$  definiert wie in Abschnitt 1.1.2. Sei  $t_l$  bzw.  $t_r$  der Knoten in  $S_{zig}$  bzw.  $S_{zag}$  mit der kleinsten Tiefe.  $t_l$  ist die Wurzel von  $H$ .  $t_r$  ist das rechte Kind von  $t_l$ . Der linke Teilbaum von  $t_l$  hat Listenform und wird von den restlichen Knoten in  $S_{zig}$  gebildet, so dass kein Knoten in diesem Teilbaum ein linkes Kind hat. Der rechte Teilbaum von  $t_r$  hat Listenform und wird von den restlichen Knoten in  $S_{zag}$  gebildet, so dass kein Knoten in diesem Teilbaum ein rechtes Kind hat.

$z_b$  wird simultan aus  $P_b$  erzeugt und seien  $b_l$  und  $b_r$  die Knoten in  $z_b$  entsprechend zu  $t_l$  und  $t_r$  in  $z_t$ .  $b_l$  ist das linke Kind von  $t_r$ . Die Wurzel des bottom Tree ist das linke Kind von  $t_r$ . Da die Links-Rechts-Beziehung eingehalten wird ergibt aus den Aufbau der zig und zag Segmente und die Wurzel des bottom tree ist in konstanter Zeit erreichbar. Abbildung ?? zeigt eine beispielhafte Darstellung.

## 1.3 Die *access* Operation beim Zipper Baum

Wie der Tango Baum erweitert der Zipper Baum seine Knoten um eine *is-Root* Variable sowie um die *depth*, *minDepth* und *maxDepth* Variable. Sei  $k$  der Parameter der Operation und  $p$  der Zeiger der Operation in den BST. Diese *access* Operation hat Ähnlichkeit zu der des Tango Baum. Nach der



**Abbildung 7:** Pfadrepräsentation beim Zipper Baum, basiert auf einer Abbildung aus [1].

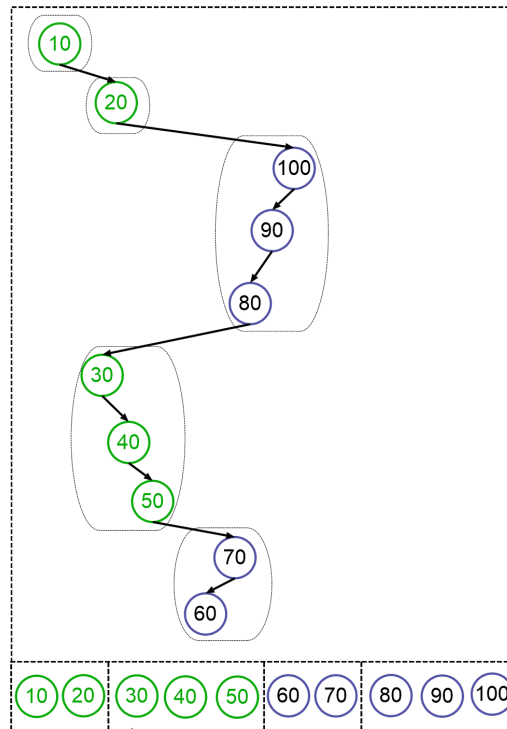
Operation muss es einen preferred path von der Wurzel von  $P$  zu dem Knoten mit Schlüssel  $k$  geben. Verlässt  $p$  einen Hilfsbaum  $H$ , werden aus  $H$  zwei BST  $H_1$  und  $H_2$  mit Schlüsselmenge analog zum Tango Baum erstellt. Sei  $H_1$  der BST mit den Knoten mit kleinerer Tiefe und  $H_2$  der mit den Knoten mit größerer Tiefe.  $H_2$  wird sofort in einen gültigen Hilfsbaum überführt. Die Knoten aus  $H_1$  sind nach der Operation in dem Hilfsbaum enthalten, der die Wurzel des Zipper Baumes enthält. Dieser wird erst erzeugt nachdem  $k$  gefunden wurde. Insbesondere startet  $p$  nicht mehrmals bei der Wurzel von  $T$ . Es werden wieder Hilfsoperationen benötigt.

### zip Operation

**access Operation** Nun wird die *access* Operation des Tango Baumes betrachtet. Sei  $k$  der Parameter der Operation und  $p$  der Zeiger der Operation in den BST. Solange sich  $p$  im Hilfsbaum mit der Wurzel des Tango Baumes  $T$  befindet, verhält sich die Operation wie die Standardvariante von *search*. Erreicht  $p$  die Wurzel eines anderen Hilfsbaumes  $H_2$ , muss sich ein preferred child in  $P$  verändert haben.  $T$  wird mit *cut* und *join* so angepasst, dass er wieder die preferred paths in  $P$  repräsentiert. Anschließend startet  $p$  wieder an der Wurzel von  $T$ . Erreicht  $p$  den Knoten mit *key* ( $k$ ) so wird das preferred child des Knoten mit Schlüssel  $k$  in  $P$  auf *left* gesetzt. So dass nochmals eine

Anpassung notwendig sein kann. Die Operation wird noch etwas detaillierter beschrieben.

#### 1.4 Laufzeitanalyse für *access*



**Abbildung 8:** zig Segmente sind grün dargestellt, zag Segmente blau

## Literatur

- [1] Prosenjit Bose, Karim Douïeb, Vida Dujmović, and Rolf Fagerberg. An  $o(\log \log n)$ -competitive binary search tree with optimal worst-case access times. *Algorithm Theory - SWAT 2010*, page 38–49, 2010.